

مبادله‌گرهای حرارتی در سیکل‌های مایع سازی LNG تولید C₃MR، منحنی‌های حرارتی شکل گرفته و بررسی اثر آن در بازدهی انرژی

حمید صفاری^۱، مسعود فصیح بیکی^۲

Masoudfbeiki@gmail.com

پذیرش مقاله: ۰۳/۰۹/۸۹

(دریافت مقاله: ۰۱/۰۹/۸۸)

چکیده

در این تحقیق قصد داریم با مدلسازی یک سیکل مایع سازی LNG (یک پروسه C₃MR) توسط نرم افزار هایسیس، ضمن بررسی منحنی‌های حرارتی شکل گرفته در مبادله‌گرهای اصلی قسمت تبرید و مایع سازی پروسه مایع سازی گاز طبیعی، راهکارهایی جهت افزایش بازدهی انرژی و مصرف کمتر ارائه دهیم. سپس به بررسی نحوه انتخاب المان‌های مختلف این قسمت از یک مجتمع مایع سازی گاز طبیعی پردازیم. در این تحقیق ابتدا قسمت تبرید و مایع سازی پروسه فوق الذکر مدلسازی شده و منحنی‌های حرارتی به وجود آمده در مبادله‌گرهای اصلی در حالت بهینه نشده ارائه می‌شود. بدین منظور برای پیش‌بینی خواص ترمودینامیکی گاز طبیعی و مبردها از معادله حالت مناسب استفاده می‌شود. در ادامه دو روش برای بهینه سازی مصرف انرژی در این پروسه بر مبنای منحنی‌های حرارتی در مبادله‌گرها ارائه می‌گردد. در روش اول بهینه سازی بر مبنای قانون دوم ترمودینامیک و کاهش تلفات اکسرژی با کم کردن فاصله منحنی‌های حرارتی و اختلاف دما بین دو جریان مبرد و گاز طبیعی با پیشنهاد ترکیب مبرد و مشاهده اثر آن بر این منحنی و میزان مصرف انرژی انجام می‌پذیرد. در روش دوم بهینه سازی توسط بهینه ساز هایسیس و بر مبنای امتحان ترکیب‌های اتفاقی مبرد در سیکل‌های مایع سازی و فوق سرماساز انجام می‌پذیرد. همگرایی ترکیب و دبی مبردهای پیشنهادی در روش اول و دوم صحت روش اول و درستی پیش‌بینی‌ها را مشخص می‌کند. نتایج نشان می‌دهد که با استفاده از مفهوم فوق می‌توان مصرف انرژی در این پروسه را در شرایط یکسان تولید نسبت به حالت قبل از بهینه سازی MW/۴ (۳۶/۵٪) کاهش داد.

کلیدواژه:

گاز طبیعی مایع شده-پروسه مایع سازی MR-C₃-بازده-منحنی حرارتی-اکسرژی-Hysys

۱- استادیار، دانشکده مهندسی مکانیک، دانشگاه علم و صنعت ایران، saffari@iust.ac.ir

۲- کارشناس ارشد، دانشکده مهندسی مکانیک، دانشگاه علم و صنعت ایران

چندگانه و پیش سرمایش پروپان و استفاده از اکسپندر ارائه نمود[۴]. در سال ۱۹۹۸ Terry از نرم افزار هایسیس برای محاسبه و بهینه سازی یک سیکل مایع سازی پوشش بار حداکثر^۱ استفاده نمود[۵]. Gu و همکاران نیز به مدلسازی و شبیه سازی پروسه های مایع سازی گاز طبیعی پرداخته اند. آنها در سال ۲۰۰۶ به مدلسازی دو پروسه مبرد چند گانه (پروسه MR₂C بدون پیش سرمایش) و مبرد نیتروژن با اکسپندر پرداختند و پس از بررسی کار مصرفی و منحنی های حرارتی آنها در حالت ظرفیت کم^۷ آنها را مقایسه و تحلیل کرده اند[۶].

۲- مدلسازی

همانگونه که قبلاً اشاره شد، پروسه مورد مطالعه در این مقاله یک پروسه C₃MR می باشد. در شکل (۱) دیاگرام ساده شده پروسه فوق مشاهده می شود. از آنجا که در تمامی حالات مورد بررسی دبی ورودی گاز طبیعی ثابت فرض می شود، کار مصرفی ۷ کمپرسور و ۱ اپمپ برای مقایسه در هر حالت به عنوانتابع هدف که می باید کمینه شود، مورد استفاده قرار می گیرد.

معادلات حالت بسیاری برای استفاده در پیش بینی خواص مخلوط هیدروکربن ها در دماهای پایین (محدوده کرایوژنیک) معرفی می شوند که پیش بینی خواص توسط آنها اختلاف کمی با حالت واقعی دارد. در این مقاله از معادله حالت PRSV برای این منظور استفاده می شود. بررسی این معادله حالت و معادله حالت های دیگر در محدوده بررسی این مقاله نمی باشد و علاقه مندان می توانند به کتابها و مقالات مرتبط رجوع کنند.[۷،۸،۹،۱۰،۱۱]

در این مدلسازی بازده آدیاباتیک پمپها و کمپرسورها ۸۰٪ فرض شده است که واپسته به دبی گذرنده نیست. این مقدار، بازدهی در حالت بهینه نشده کمپرسورها بوده و با توجه به اینکه انتخاب کمپرسورها بر مبنای دبی گذرنده و اختلاف هد مورد نظر در حالت نزدیک به بازدهی حداکثر انتخاب می شود، فرض قابل قبولی می باشد. مدلسازی این پروسه توسط نسخه ۳،۲ نرم افزار هایسیس انجام گرفته است. نرم افزار هایسیس به دلیل داشتن معادله حالت های مناسب برای کاربردهای گوناگون، تعریف اغلب المان های مورد نیاز شبیه سازی، وجود واحد های کنترلی برای کنترل قسمتهای مختلف، افزایش سرعت عملیات مدلسازی و بهینه سازی به دلیل انجام محاسبات مربوط به قانون اول ترمودینامیک و ... از نرم افزار های مطرح در شبیه سازی و بهینه سازی پروسه های صنعتی محسوب می گردد.

۱- مقدمه

آمارها و پیش بینی ها از آینده نشان دهنده این نکته می باشند که گاز طبیعی در قرن ۲۱ یکی از منابع اصلی تامین کننده انرژی در جهان است. این ساخت در مقایسه با ساختهای دیگر فسیلی در جهان، تمیزتر بوده و گازهای گلخانه ای کمتری تولید می کند. ضمن اینکه ذخایر عظیم اثبات شده ای برای آن قابل تصور می باشد. پیش بینی می شود که تولید الکتریسیته از گاز طبیعی در سطح جهانی از حدود ۱۷٪ در سال ۲۰۰۰ به حدود ۳۰٪ در سال ۲۰۲۰ افزایش یابد[۱].

در این مقاله، یک سیکل مایع سازی با مبرد چند گانه با پیش سرمایش^۴ مرحله ای پروپان مدلسازی شده است و مراحل مایع سازی^۵ و فوق سرمایش^۶ توسط مبردهای جداگانه در دو مبالغه گر حرارتی (به ترتیب در ۱۰۴ و ۱۰۵ LNG در شکل ۱) صورت می گیرد. پروسه مایع سازی C₃MR پر کاربرد ترین پروسه مایع سازی گاز طبیعی از سال ۱۹۷۲ تاکنون در سطح بین الملل بوده و حدود ۸۰٪ پروسه های موجود از این نوع می باشند. این پروسه کارآمدی، اقتصادی بودن، انعطاف پذیری از لحاظ میزان تولید و اعتماد پذیری به خود را در طی سالها اثبات نموده است[۲].

مایع سازی گاز طبیعی به دلیل فاصله زیاد منابع آن از محل مصرف در کشورهای صنعتی، حمل آسان آن با کاهش حجم ۶۰۰ برابری در صورت مایع سازی، استفاده از آن (غاز طبیعی مایع شده) برای تولید کار در فرآیند بازگشت به حالت گاز، اینمی بالای پروسه تولید و حمل و نقل آن و اقتصادی بودن این روش مورد توجه اغلب کشورها قرار گرفته است. با توجه به مصرف بالای انرژی برای تولید LNG در مقیاس صنعتی (برای مثال حدود ۲۰۰ MW در پروسه مدلسازی شده در این مقاله) و بازدهی پایین تبدیل دیگر انرژی ها به انرژی الکتریکی برای استفاده توسط کمپرسورها نیاز به کاهش مصرف انرژی در این صنعت احساس می شود.

طراحی و مدلسازی پروسه های مایع سازی با بهبود نرم افزارها و ساخت افزارها و گسترش صنعت مایع سازی در دهه ۷۰ میلادی آغاز شد. شرکت شل^۷ پروسه های آبشاری، مبرد چند گانه و مبرد نیتروژن با اکسپندر را مدلسازی کرده است و مزايا و معایب آنها را تحلیل نموده است[۳]. در سال ۱۹۹۵ Melaaen و همکاران مدل دینامیکی برای پروسه مایع سازی گاز طبیعی بار پایه^۸ با استفاده از شبیه ساز DASSL ارائه نمودند[۳]. Kikkawa در سال ۱۹۹۷ با استفاده از نرم افزار CHEMCAD مدلی برای سیکل با مبرد

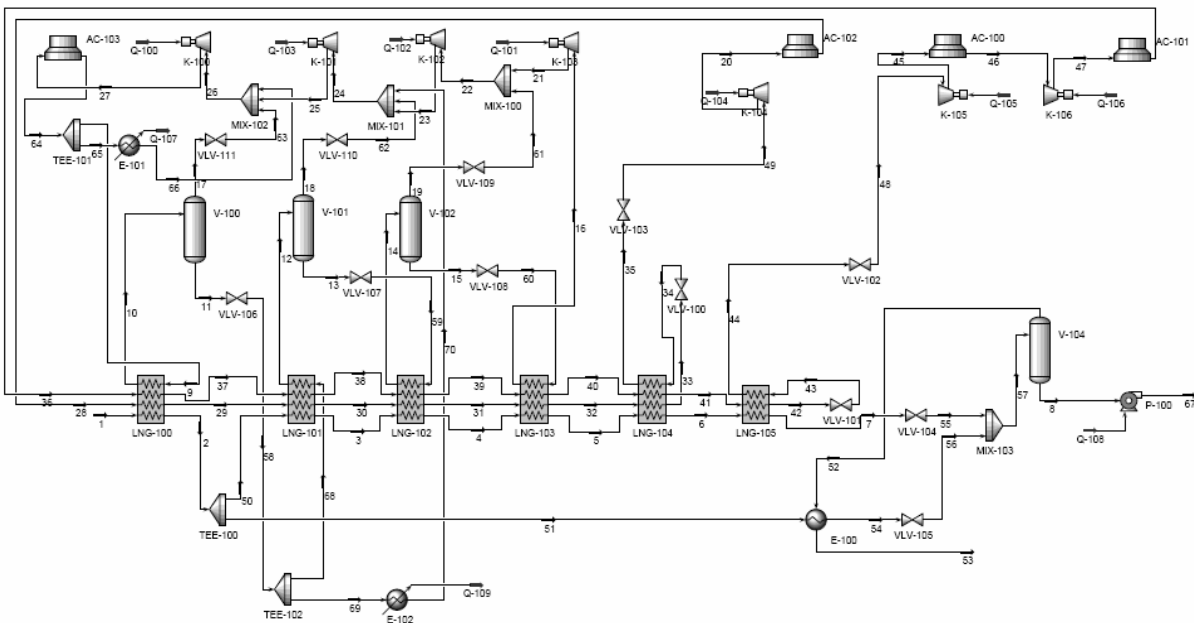
1 - Pre cooling

2 - Liquefaction

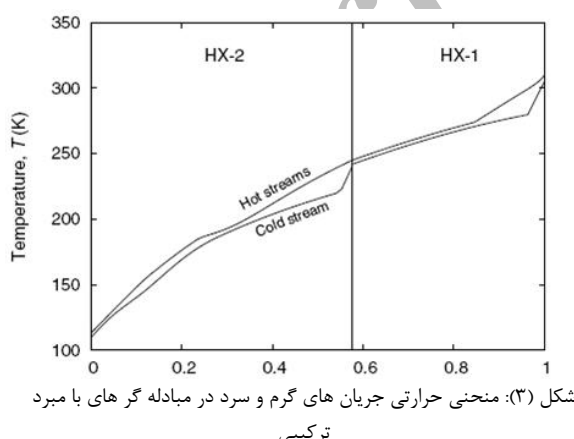
3 - Sub cooling

4 - Shell Corporation

5 - Base load

شکل (۱): دیاگرام ساده شده پروسه C_3MR مورد مطالعه

از ترمودینامیک به یاد داریم که یکی از عوامل تولید آنتروپی در سیستم انتقال حرارت بین دو منبع حرارت با اختلاف دمای محدود می‌باشد. اختلاف دمای نسبتاً زیاد بین جریان‌های گرم و سرد در مبادله‌گر با مبرد خالص در مقایسه با مبادله‌گر با مبرد چند گانه (ترکیبی) نشان دهنده تلفات بالای اکسرژی و تولید آنتروپی در این سیستم‌ها است (شکل (۳)).



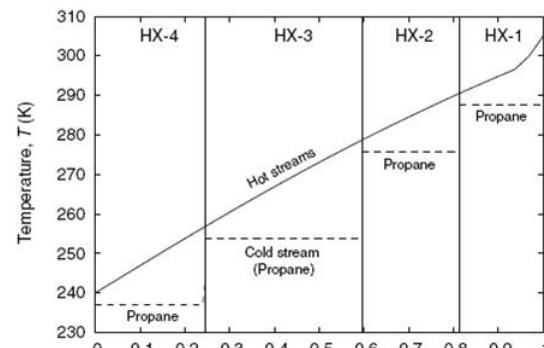
شکل (۳): منحنی حرارتی جریان‌های گرم و سرد در مبادله‌گرهای با مبرد ترکیبی

سعی بر این است که انتخاب مبرد به نحوی صورت بگیرد که منحنی‌های حرارتی در حد امکان به هم نزدیک شوند تا از تلفات اکسرژی جلوگیری شود. البته در این میان محدودیتی وجود دارد که

۴- روش اول بهینه سازی، روش آزمون و خطا

۴-۱- مفهوم

توجه به اختلاف دمای نسبتاً زیاد بین جریان‌های گرم و سرد در مبادله‌گرهای کربوژنیک ما را متوجه دلیل بازدهی نسبتاً پایین مایع‌سازها و خنک‌کننده‌های دما پایین با مبرد خالص در مقایسه با بازده ایده‌آل آن می‌سازد. شکل (۲) نحوه تغییر دمای جریان‌های گرم و سرد (به ترتیب گاز طبیعی تغذیه شده و مبرد های مایع سازی و فوق سرمایش و همچنین پروپان) را در مبادله‌گرهای پیش‌سرمایش مشخص می‌کند.

شکل (۲): منحنی حرارتی جریان‌های گرم و سرد در مبادله‌گرهای ۴ گانه پیش‌سرمایش با مبرد خالص در یک پروسه C_3MR

مورد بررسی قرار می گیرد. پس از دستیابی به ترکیب و دبی بهینه برای مبرد فوق سرمایش، این کار با ثابت فرض کردن مشخصات مبرد فوق سرمایش انجام می پذیرد. به دلیل اینکه دستیابی به منحنی حرارتی مناسب برای پیش سرمایش گاز طبیعی و مبردهای فوق سرمایش و مایع ساز در فشار کاری قابل قبول با ترکیب هیدروکربن های ساده امکان پذیر نیست، از مبرد چندگانه در این مبادله گرها استفاده نمی شود.

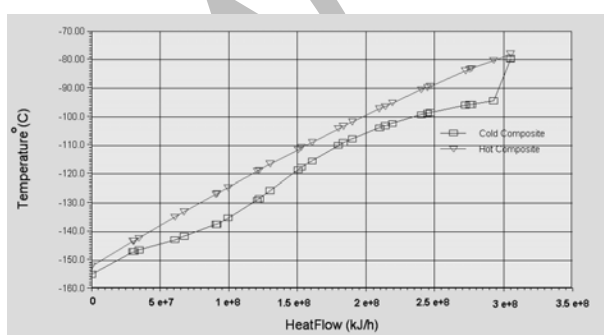
انتخاب مبرد در یک چرخه و فشار کاری آن با احتساب امکان تبخیر در کندانسور و امکان مایع شدن قبل از ورود به اوپرаторها (مبادله گر های اصلی پیش سرمایش، مایع سازی و فوق سرمایش) انجام می شود.

۴-۳-۴ نتایج

در این قسمت ابتدا چند ترکیب امتحان شده و دبی متناظر با آن در جدول (۱) و منحنی حرارتی شکل گرفته در مبادله گر فوق سرمایش در شکل های (۴) و (۵) ارائه می گردد. در ادامه چند ترکیب امتحان شده و دبی متناظر با آن در جدول (۲) و منحنی حرارتی شکل گرفته در مبادله گر فوق سرمایش در شکل های (۶) و (۷) ارائه می شود.

جدول (۱): چند ترکیب امتحان شده و دبی متناظر با آن برای مبرد فوق سرمایش

مرحله	درصد		درصد		درصد		صرفی سرمایش	دبی مبرد	تون			
	مولی مولی		مولی اتان		مولی اتان							
۱	% ۶۰	% ۳۵	% ۵	۵۰۱۱۳۴	۱۹۳/۸	MW						
۲	% ۶۵	% ۳۰	% ۵	۵۱۵۰۰	۲۰۲/۴	MW						
۳	% ۵۵	% ۴۰	% ۵	۵۰۰۰۰	۱۸۸/۷	MW						
۴	% ۵۴	% ۳۹	% ۷	۵۱۰۰۰	۱۹۱	MW						



شکل (۴): منحنی حرارتی در مبادله گر فوق سرمایش مرحله ۱
حالت قبل از بهینه سازی)

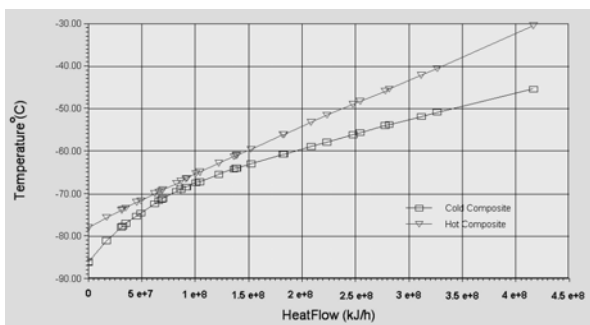
هر چه اختلاف دمای بین این دو جریان کمتر شود، احتیاج به سطح حرارتی بزرگتر و زمان بیشتر و استفاده از تکنیک های جهت افزایش انتقال حرارت می باشد که هزینه های اولیه را افزایش می دهد. به همین منظور برای هر مبادله گر حداقل اختلاف دمای بین دو جریان گرم و سرد تعریف می شود که اختلاف دمای دو جریان نباید کمتر از آن شود. در بهینه سازی با روش دوم اختلاف دما ۳ درجه سانتیگراد در مبادله گرهافرض شده است.

با مشخص بودن دبی و ترکیب ورودی دو جریان در هنگام ورود به مبادله گر حرارتی، دمای مبرد در هر نقطه از مبادله گر اینگونه محاسبه می شود که به ازای واحد گرمای مبادله شده بین دو جریان چقدر می شود. این تبادل گرما تا رسیدن به دمای مشخص شده یک جریان در انتهای مبادله گر ادامه می باشد.

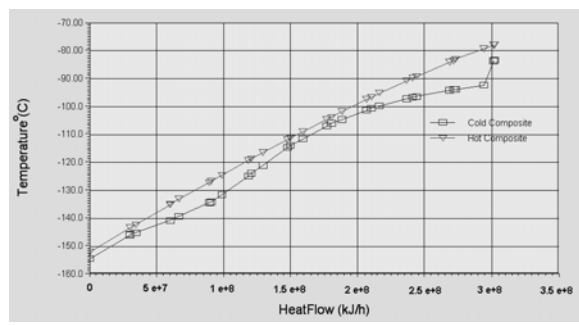
۴-۲-۴ نحوه بهینه سازی

با توجه به شکل (۱) مشاهده می گردد که به دلیل اینکه تنها مبرد فوق سرمایش و دبی آن در بهینه سازی سیکل فوق سرمایش اثر گذار است، مناسب است که بهینه سازی دبی و ترکیب مبرد ها از این قسمت آغاز شود. اگر قرار بود که بهینه سازی از چرخه مایع سازی آغاز شود، در صورت مشخص بودن دبی و ترکیب جریان گاز مصرفی احتیاج به مشخص بودن دبی و ترکیب مبرد فوق سرمایش که از این مبادله گر می گذرد نیز بود که در بدو امر مشخص نیست. در این شبیه سازی قوانین اول و دوم ترمودینامیک مورد استفاده قرار می گیرد. بدین صورت هر جا که نیاز به استفاده از قانون اول ترمودینامیک باشد(رسم منحنی های حرارتی، تعیین دمای جریان پس از اختناق در شیرها، محاسبه کار موردنیاز کمپرسورها و پمپ و ...) هایسیس خاصیت مجھول را به کمک این قانون مشخص می کند و در صورت مدلسازی نادرست که منجر به انتقال حرارت از جریان سرد به گرم شود، کاربر را از اشتباخ خویش آگاه می کند. در نتیجه نیازی به انجام محاسبات ساده ترمودینامیک نیست و بروشه بهینه سازی بدون درگیری کاربر با جزئیات مدل (محاسبه دمای جریان پس از اختناق آدیاباتیک در شیر با فرض مشخص بودن شرایط جریان قبل از اختناق و فشار جریان بعد از انجام تحول و ...) انجام می پذیرد. در این مقاله نیز محاسبات مربوط به این مسائل ارائه نمی شود.

در هر مرحله ترکیبی برای مبرد فوق سرمایش پیشنهاد می شود. سپس دبی این مبرد و مبردهای مایع سازی و پیش سرمایش به گونه ای تنظیم می شود که اختلاف دمای موردنظر در مبادله گرها به وجود آید. با مقایسه منحنی حرارتی تشکیل شده در حالت جدید و قدیمی و کار مصرفی در مجموع، درستی روند تغییر ترکیب مبرد



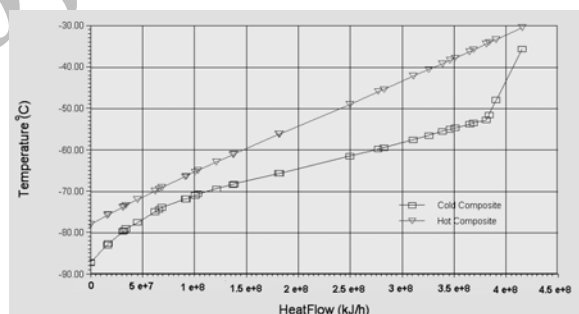
شکل (۷): منحنی حرارتی در مبادله گر مایع سازی مرحله ۹
(پس از بهینه سازی مبرد مایع سازی)



شکل (۵): منحنی حرارتی در مبادله گر فوق سرمایش مرحله ۳
(پس از بهینه سازی مبرد فوق سرمایش)

جدول (۲): چند ترکیب امتحان شده و دبی متناظر با آن برای مبرد مایع سازی

توان مصرفی مرحله	درصد مولی متان	درصد مولی اتان	درصد مولی پروپان	دبی مبرد مایع سازی
۵	۱۰	۷۰	۲۰	۷۹۰۰۰ ۱۸۸/۷ MW
۶	۱۵	۷۰	۱۵	۷۹۵۰۰ ۱۹۶/۳ MW
۷	۱۰	۸۰	۱۰	۷۹۵۰۰ ۱۹۵/۹ MW
۸	۲۵	۵۰	۲۵	۸۱۵۰۰ ۱۹۸/۹ MW
۹	۱۰	۶۰	۳۰	۸۲۰۰۰ ۱۸۴ MW



شکل (۶): منحنی حرارتی در مبادله گر مایع سازی مرحله ۵
(حالت قبل از بهینه سازی)

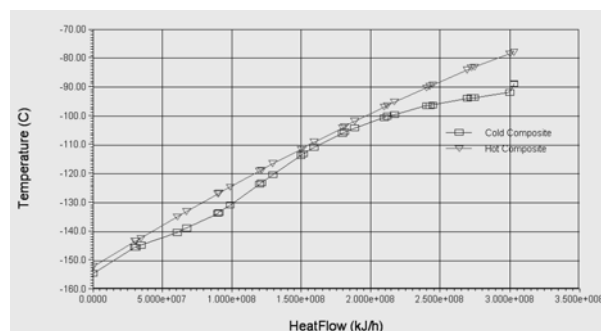
جدول (۳): مقایسه ترکیب مبرد قبل و بعد از بهینه سازی با بهینه ساز هایسیس

	درصد مولی نیتروژن	درصد مولی پروپان	درصد مولی اتان	درصد مولی متان	توان مصرفی
مبرد فوق سرمایش (قبل از بهینه سازی)	۰	۵	۳۵	۶۰	۱۹۳/۸ MW
مبرد فوق سرمایش (بعد از بهینه سازی)	۴/۹۳	۴۱/۳۷	۵۳/۷		۱۸۳/۴ MW
مبرد مایع سازی (قبل از بهینه سازی)	۰	۲۰	۷۰	۱۰	۱۹۳/۸ MW
مبرد مایع سازی (بعد از بهینه سازی)	۳۲/۸۵	۵۵/۲۲	۱۱/۹۳		۱۸۳/۴ MW

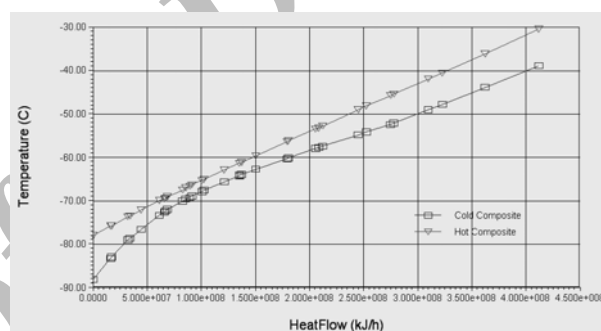
مشخص می شود. سپس ترکیب و دبی مبرد ها مطابق با روش فوق الذکر مشخص می شود و سپس انتخاب کمپرسورها و پمپ های مجموعه بر مبنای شرایط کاری مشخص انجام می شود.

۶- مراجع

- [1] Waller-Hunter, J., Estrada, R., "Proposal on Cleaner or Less Greenhouse Gas-emitting Energy. Subsidiary body for scientific and technological advice", United Nations Framework Convention on Climate Change, 16th session, Bonn, June 5-14, 2002.
- [2] Roberts, M. J., Liu, Y. N., Bronfenbrenner, J. C.. "Reducing LNG Capital Cost in Today's Competitive Environment", 14th International Conference & Exhibition on Liquefied Natural Gas (LNG14) 2004, PS2 -6.1-12, Doha – Qatar.
- [3] Gu, A., Lu, X., Wang, R., Shi, Y., Lin, W., "Liquefied Natural Gas Technology", China Machine Press, 2004.
- [4] Yoshitugi, K., Moritaka, N., "Development of liquefaction process for natural gas", Journal of Chemical Engineering of Japan, Vol. 30, No. 4, 1997, pp. 626–630.
- [5] Terry, L., "Comparison of liquefaction process", LNG Journal Vol. 21, No. 3, 1998, pp. 28–33.
- [6] Cao, W., Lu, X., Lin, W., and Gu, A., "Parameter Comparison of Two Small-Scale Natural Gas Liquefaction Processes in Skid-Mounted Packages", Applied Thermal Engineering, Vol. 26, Issu 8-9 June. 2006, pp. 898-904.
- [7] Ashour, I., Sayed-Ahmed, T. S., "Modeling and Simulation of a Liquefied Natural Gas Plant", The Fourth Annual U.A.E. University Research Conference, 2002, pp. 48-51.
- [8] Newton, C., Gaumer, L., "Process for Liquefying Methane", US Patent No. 445916, May 1, 1984.
- [9] Wei, Y. S., Sadus, R. J. "Equations of State for the Calculation of Fluid Phase Equilibria", AIChE Journal, Vol. 46, No. 1, 2000, pp. 169- 196.
- [10] Firoozabadi, A., "Thermodynamics of Hydrocarbon Reservoir", McGraw-Hill, New York, 2000, pp. 1-331.
- [11] Malanowski, S., Anderko, A., "Modeling Phase Equilibria: Thermodynamic Background and Practice Tools", John Wiley & Sons, Inc. New York, May 1992, pp. 165-297.



شکل (۸): منحنی حرارتی در مبادله گر فوق سرمایش
(پس از بهینه سازی مبرد فوق سرمایش)



شکل (۹): منحنی حرارتی در مبادله گر مایع سازی
(پس از بهینه سازی مبرد مایع سازی)

با مقایسه درصد ترکیب مولی مبردها و میزان توان مصرفی در حالت بهینه شده از جداول (۱) و (۲) با جدول (۳) و مقایسه شکل های (۵) و (۷) با شکل های (۸) و (۹) می توان درستی روش اول را اثبات نمود.

۵- نتیجه گیری

همان گونه که قابل پیش بینی بود، با کاهش فاصله دمایی میان جریان های گرم و سرد در مبادله گرهای اصلی از طریق تغییر ترکیب مبرد، کار مصرفی مجموعه نسبت به حالت قبل از بهینه سازی $10/4$ MW ($10/36$) کاهش یافت. نزدیکی ترکیب مبرد بهینه شده در روش ۱ و ۲ و کار مصرفی در این دو حالت درستی این پیش بینی را ثابت کرد. با توجه به یافته های این مقاله به نظر می رسد که در طراحی یک مجتمع مایع سازی، پس از انتخاب یک پروسه خاص با توجه به مسائل فنی و اقتصادی، ابتدا مبادله گرهای اصلی مایع سازی انتخاب و حداقل اختلاف دمایی قابل قبول در آنها